

(139)

## Konvergencie lineárneho dvouúrovňového schématu

Dvouúrovňová schéma bude zapsané takto

$$(1) \quad U^{n+1} = R_n U^n + F^n, \text{ kde}$$

$U, F$  sú vektory a  $R_n$  čtvercová matice.

Príklad: Napr. explicitné schéma pre rovnici vedenia tepla s homogennými Dirichletovými OP.

$$U_i^{n+1} = \sigma U_{i-1}^n + (1-2\sigma) U_i^n + \sigma U_{i+1}^n + \tau f_i^n$$

$$U^{n+1} = R_n U^n + F^n, \text{ kde}$$

$$U = \begin{bmatrix} U_1 \\ U_2 \\ \vdots \\ U_K \end{bmatrix}, \quad R_n = \begin{bmatrix} 1-2\sigma & \sigma & 0 & & \\ \sigma & 1-2\sigma & \sigma & & \\ 0 & & 1-2\sigma & \sigma & \\ & & & 0 & \sigma \\ & & & & 1-2\sigma \end{bmatrix}, \quad F = \tau \begin{bmatrix} f_1 \\ f_2 \\ \vdots \\ f_K \end{bmatrix}$$

Uvažujme, že  $U^*$  je teoreticky presné řešení, pak

(140)

$$U^*(t_{n+1}) = R_n U^*(t_n) + F(t_n) + \varepsilon \chi_n \quad |$$

$$U^{n+1} = R_n U^n + F^n$$


---

$$\underbrace{U^{n+1} - U^*(t_{n+1})}_{E^{n+1}} = R_n \underbrace{(U^n - U^*(t_n))}_{E^n} - \varepsilon \chi_n$$

kde  $\chi_n$  je článok diskretizácie (vektor)  
a  $E$  je globálny článok

Uvažujme, že  $R_n = R$  je konštantná matice

Rekurenciu dostaneme

$$E^{n+1} = (R)^n E^0 - \varepsilon \sum_{i=1}^n (R)^{n-i} \chi_{i-1}$$

$$\Rightarrow \|E^{n+1}\| \leq \|R^n\| \|E^0\| + \varepsilon \sum_{i=1}^n \|R^{n-i}\| \|\chi_{i-1}\| \quad (E)$$


---

Pozn: 1) matice  $R$  zahrnuje v numerickou

aproximaci OP

2) podobnosť uvažme tie poniž

v pís implicitný schéma, protože

(141)

implicitní schéma lze zapsat ve formě

$$C U^{n+1} = B U^n + D$$

$$U^{n+1} = C^{-1} B U^n + C^{-1} D, \text{ kde}$$

$C, B$  jsou čtvercové matice a  $D$  je vektor.

Zpět k nerovnici (E). Má-li globální  
chyba  $\| E^{n+1} \|$  zůstat omezená, pak stačí,  
aby

$$\| R^n \| < c, \forall n, \tau, n \cdot \tau \leq T, c < c_0$$

f. v. Laxova - Richtmyerova definice  
stability.

Laxova věta o ekvivalence) Konsistentní lineární

metoda konverguje, právě když je stabilní.

Pozn.:  $\| R^n \| < c$  jestliže  $\| R \| \leq 1 + \lambda \tau, \forall \tau \in \mathbb{C}$ , protože

(142)

$$\|R^n\| \leq \|R\|^n \leq (1+\lambda T)^n \leq e^{\lambda n T} = e^{\lambda T}$$

konstanta  $c$

□

Pozn: Při daném odhadu  $\|R\|$  (fp. pro normu)

odhad např.  $\lambda$ ) lze užít spektrální polomer  $R$ , neboť v této ře  $\rho(R) \leq \|R\|$ .

Ověření:  $\|RX\| = |\lambda| \|X\|$ ,  $\lambda$  ul. číslo  $R$   
 $X$  jвл. vektor  $R$

$$\|RX\| = \|\lambda X\| = |\lambda| \|X\|$$

$$|\lambda| \|X\| = \|R \cdot X\| \leq \|R\| \|X\|$$

$|\lambda| \leq \|R\|$  ... toto musí platit  
při lib.  $\lambda$

$$\Rightarrow \rho(R) = \max |\lambda| \leq \|R\|$$

□

Pozor, zástava! zde problém v určení ul. čísla  $R$ ,  
což ji vynechám pouze pro několik speciálních  
prípadů (obecně nelze).

(143)

Potřebujeme tedy nějaké "jednodušší" kriterium pro určení stability, které je možné použít v praxi

→ 1) spektrální kriterium  
2) CFL kriterium

### Spektrální kriterium stability

Motivace: Uvažujeme  $CU'$  pro transportní rovnicu

$$\frac{\partial u}{\partial t} + a \frac{\partial u}{\partial x} = 0, \quad u(x, 0) = u_0(x)$$

rovnicu řešíme pro  $[x, t] \in G = (-\infty, \infty) \times (0, T)$  pomocí centrálního schématu

$$\frac{u_k^{n+1} - u_k^n}{\tau} + a \frac{u_{k+1}^n - u_{k-1}^n}{2h} = 0 \quad (*)$$

kde  $u_k^n = u(x_k, t_n)$ ,  $x_k = k \cdot h$   
 $t_n = n \cdot \tau$

(144)

Uvažujeme, že počáteční podmínka  $u_0(x)$  je  $2\pi$ -periodická funkce, tj. lze ji zapsat ve formě součtu Fourierovy řady (zde v komplexním tvare)

$$u_0(x) = \sum_{j=-\infty}^{\infty} d_j e^{I j x} = \frac{a_0}{2} + \sum_{j=1}^{\infty} a_j \cos(jx) + b_j \sin(jx)$$

hde  $d_j$  je komplexní číslo,  $a_j, b_j \in \mathbb{R}$

$$\text{a } I = \sqrt{-1}$$

platí, že  $d_j = \frac{1}{2\pi} \int_0^{2\pi} u_0(x) e^{-I j x} dx$

Numerická metoda uvažuje pouze diskrétní hodnoty  $x_k = k \cdot h$ , tj. lze psát

$$u_k^0 = u_0(x_k) = \sum_{j=-\infty}^{\infty} d_j e^{I j k h}$$

$u_k^0$  dosadíme do (\*) a vypočteme  $u_k^1$ , tj. hodnoty u v 1. částečné vrstvě

(145)

Schéma (\*) lze pro  $n=0$  zapsat jako

$$u_k^1 = u_k^0 - \frac{\alpha\tau}{2h} (u_{k+1}^0 - u_{k-1}^0),$$

takže po dosazení Fourierova rozložení dostaneme

$$u_k^1 = \sum_{j=-\infty}^{\infty} \left( d_j e^{Ijkh} \underbrace{\left[ 1 - \frac{\alpha\tau}{2h} (e^{Ijh} - e^{-Ijh}) \right]}_{=\lambda_j} \right)$$

kde  $\lambda_j$  je tzv. reálný faktor j-tej harmonické složky (amplification factor)

z výníc  $u_k^0 = \sum_{j=-\infty}^{\infty} d_j e^{Ijkh} \cdot 1 = "(\lambda_j)^0"$

$$u_k^1 = \sum_{j=-\infty}^{\infty} d_j e^{Ijkh} \cdot \lambda_j$$

Snadno odvodíme, že

$$u_k^n = \sum_{j=-\infty}^{\infty} d_j e^{Ijkh} \cdot (\lambda_j)^n,$$

$d_j$  je amplituda j-tej harmonické složky v čase  $t_n$  je rovna  $\lambda_j^n \cdot d_j$ .

(146)

Je třejme, že pro  $|jh| \neq m\pi$  (násobek  $\pi$ )

$$\text{je } |\lambda_j| = \left[ 1 + \left( \frac{a^2}{h} \right)^2 \sin^2(jh) \right]^{1/2} > 1$$

$\Rightarrow |u_k^n| \rightarrow \infty$  pro  $n \rightarrow \infty$ , tj. centralní

Schéma je nepodmínené (vždy) nestabilní.

Obecný přístup: Uvažujeme obecně numerické

lineární schéma ve formě  $u_k^{n+1} = R u_k^n$ ,

kde  $R$  je operátor definovaný jako

$R u_k = \sum_p \gamma_p u_{k+p}$ . Hledáme vlastní

vektory  $u$  a vlastní čísla k operátoru  $R$ , f.

řešíme tzn. Sturm-Liouvilleho úlohu

(protože z vlastních funkcí lze sestavit bázi prostoru všech řešení). Hledáme nehomogenné řešení  $u_j$  rovnice

$$R u_j = \lambda_j u_j$$

(147)

Je užívat, že řešení má tvar (dosažením do

$$\lambda_j = \sum_p p e^{I P j h} \quad R u = \lambda u \\ u_j = e^{I K(jh)}$$

hде  $(jh) = \varphi \in (0; 2\pi)$ .

Postup při použití spektrálních kritérií:

1) položíme  $u_k^n = \lambda^n e^{IK\varphi}, \varphi \in (0, 2\pi)$

a dosadíme do numerického schématu.

2) vyjádříme  $\lambda$  jako funkci  $\varphi$

3) platí-li pro  $\varphi \in (0, 2\pi)$   $|\lambda| \leq 1$ ,

pak je numerické schéma stabilní  
(nutná podmínka stability).

(148)

Pr: Určete podmínky stability explicitního schématu pro rovnici vedení tepla pomocí spektrálního kritéria.

explicitní schéma lze zapsat jako

$$u_k^{n+1} = \sigma u_{k-1}^n + (1-2\sigma) u_k^n + \sigma u_{k+1}^n$$

kde  $\sigma = \frac{P\Delta t}{h^2}$  (viz rovnice  $\frac{\partial u}{\partial t} = P \frac{\partial^2 u}{\partial x^2}$ ).

Dosudíme  $u_k^n = \lambda^n e^{Ik\varphi}$ ,  $\varphi \in \langle 0, 2\pi \rangle$

$$\begin{aligned} \lambda^{n+1} e^{Ik\varphi} &= \lambda^n \sigma (e^{I(k-1)\varphi} + e^{I(k+1)\varphi}) + \\ &\quad + \lambda^n (1-2\sigma) e^{Ik\varphi} \end{aligned}$$

$$\lambda = \sigma 2 \cos \varphi + 1 - 2\sigma = 2\sigma (\cos \varphi - 1) + 1$$

musí platit  $|\lambda| \leq 1$ , tj.

$$-1 \leq \lambda \leq 1$$

$$-1 \leq 2\sigma (\cos \varphi - 1) + 1 \leq 1$$

$$-2 \leq 2\sigma \underbrace{(\cos \varphi - 1)}_{\in \langle -2, 0 \rangle} \leq 0$$

(149)

"nejhorší případ"  $-1 \leq -2 \Leftrightarrow$

$$G \leq \frac{1}{2}$$

---

neboli  $G \in \langle 0, \frac{1}{2} \rangle$

---

Pří: Uvětě stabilitu implicitní metody pro rovnici vedem tepla pomocí spektrálních kritérií.

implicitní metoda má tvar např.

$$\frac{u_k^{n+1} - u_k^n}{\tau} = p \frac{u_{k-1}^{n+1} - 2u_k^{n+1} + u_{k+1}^{n+1}}{h^2}$$

tj.  $\boxed{\frac{u_k^{n+1} - u_k^n}{\tau} = G \left( u_{k-1}^{n+1} - 2u_k^{n+1} + u_{k+1}^{n+1} \right)},$

dosaďme  $u_k^n = \lambda^n e^{ik\varphi}, \varphi \in \langle 0, 2\pi \rangle$

a dostaneme  $\lambda - 1 = \lambda G (2 \cos \varphi - 2)$

$$\lambda = \frac{1}{1 - 2G(\cos \varphi - 1)} \geq 0 \Rightarrow |\lambda| \leq 1$$

protože

(150)

$\Rightarrow$  implicitní metoda je nepodmíněná (vždy)  
stabilní

Príklad Určete podmínky stability Laxova - Friedrichssova schématu pro transportový rovnicu

$$\frac{\partial u}{\partial t} + a \frac{\partial u}{\partial x} = 0.$$

L-F schéma má tvar

$$u_k^{n+1} = \frac{1}{2}(u_{k+1}^n + u_{k-1}^n) - \frac{a\tau}{2h}(u_{k+1}^n - u_{k-1}^n)$$

dosaďme  $u_k^n = \gamma^n e^{ik\varphi}$ ,  $\varphi \in \langle 0; 2\pi \rangle$

a dostaneme

$$\begin{aligned} \lambda &= \frac{1}{2}(e^{i\varphi} + e^{-i\varphi}) - \frac{a\tau}{2h}(e^{i\varphi} - e^{-i\varphi}) = \\ &= \cos\varphi - \frac{a\tau}{2h} i \sin\varphi \end{aligned}$$

$$\Rightarrow \operatorname{Re}\lambda = \cos\varphi$$

$$\operatorname{Im}\lambda = -\frac{a\tau}{2h} \sin\varphi$$

$$|\lambda| = \sqrt{(\operatorname{Re}\lambda)^2 + (\operatorname{Im}\lambda)^2}$$

(151)

$$|\lambda|^2 = \cos^2 \varphi + \left(\frac{ac}{h}\right)^2 \sin^2 \varphi =$$

$$= 1 - \sin^2 \varphi + \left(\frac{ac}{h}\right)^2 \sin^2 \varphi$$

Je-li  $|\lambda|^2 \leq 1$ , pak tåke' plati'  $|\lambda| \leq 1$

$$\lambda - \sin^2 \varphi + \left(\frac{ac}{h}\right)^2 \sin^2 \varphi \leq \lambda$$

$$\underbrace{\sin^2 \varphi}_{\geq 0} \left[ \left(\frac{ac}{h}\right)^2 - 1 \right] \leq 0$$

$$\left(\frac{ac}{h}\right)^2 - 1 \leq 0$$

$$\left(\frac{ac}{h}\right)^2 \leq 1$$

$$\left| \frac{ac}{h} \right| \leq 1$$

$$\frac{|a| |c|}{h} \leq 1$$

$$\text{Cf. } C \leq \frac{h}{|a|}$$

(152)

Pozn: V případě vyšetřování stability

3-vrstvových lineárních differenčních schémat (f. schémat, kde stencil obsahuje body ze 3 různých vrstev) dostaváme pro  $\lambda$  kvadratickou rovnici

$$a_1 \lambda^2 + a_2 \lambda + a_3 = 0.$$

Po určení podmínyky, po kterou je  $|\lambda| \leq 1$  slouží následující věta:

Věta: Nechť  $a_1 \lambda^2 + a_2 \lambda + a_3 = 0$ ,

$a_1, a_2, a_3 \in \mathbb{R}$ . Pak  $|\lambda| \leq 1$  právě

tehdy, když  $|a_3| \leq |a_1|$  a

zároveň  $|a_1 + a_3| \geq |a_2|$ .

Pr: Určete podmínku stability explicitního schématu po vlnovou rovnici pomocí spektrálního kritéria.

rovnice vedení tepla:  $\frac{\partial^2 u}{\partial t^2} = a^2 \frac{\partial^2 u}{\partial x^2}$

(153)

expl. Schéma ma' fvar

$$\frac{u_k^{n+1} - 2u_k^n + u_k^{n-1}}{\sigma^2} = \alpha^2 \frac{u_{k-1}^n - 2u_k^n + u_{k+1}^n}{h^2}$$

f:

$$u_k^{n+1} - \sigma^2 u_{k-1}^n + 2(\sigma^2 - 1)u_k^n - \sigma^2 u_{k+1}^n + u_k^{n-1} = 0$$

$$\text{dosa chime } u_k^n = \gamma^n e^{ik\varphi}, \quad \varphi \in \langle 0; 2\pi \rangle$$

$$\gamma^2 - \sigma^2 \gamma e^{-i\varphi} + 2(\sigma^2 - 1) \cdot \gamma - \sigma^2 \gamma e^{i\varphi} + 1 = 0$$

$$\lambda^2 - \lambda \sigma^2 2 \cos \varphi + 2(\sigma^2 - 1) \lambda + 1 = 0$$

$$\underbrace{\lambda \cdot \lambda}_{{=a_1}} + \underbrace{2(\sigma^2 - \sigma^2 \cos \varphi - 1)}_{{=a_2}} \cdot \lambda + \underbrace{1}_{{a_3}} = 0$$

$|\lambda| \leq 1$  pravě když

$$1 \leq 1 \text{ ažové } |\lambda| \geq |2(\sigma^2 - \sigma^2 \cos \varphi - 1)|$$

$$\Rightarrow | \sigma^2 (1 - \cos \varphi) - 1 | \leq 1$$

$$-1 \leq \sigma^2 (1 - \cos \varphi) - 1 \leq 1$$

$$0 \leq \underbrace{\sigma^2 (1 - \cos \varphi)}_{\in \langle 0; 2 \rangle} \leq 2$$

(154)

"nejhorší případ" je

$$|\zeta|^2 \leq 2$$

$$C^2 \leq 1$$

$$\left| \frac{\zeta a}{h} \right| \leq 1$$

$$\frac{C|a|}{h} \leq 1$$

### Courantovo - Friedrichsovo - Lewyho

kriterium stability (CFL podmínka)

Uvažujeme počítanou úlohu pro parciální diferenciální rovnicí evolučního typu.

Definujeme tzn. oblast závislosti řešení

počítané úlohy v bodě  $[x, t]$  jako množinu všech bodů, ve kterých má počítanou podmínka vliv na řešení v bodě  $[x, t]$ , viz konkrétní případy:

(155)

# 1) Transportn' novice

Uvažíme CU  $\frac{\partial u(x,t)}{\partial t} + a \frac{\partial u(x,t)}{\partial x} = 0 \quad (*)$

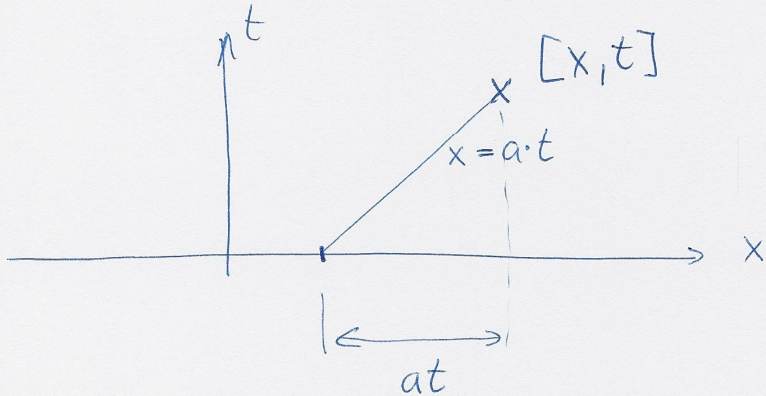
$$u(x,0) = \varphi(x)$$

(ze psn'

$$\frac{\partial u}{\partial t} + \frac{\partial u}{\partial x} \cdot a = \frac{\partial u}{\partial t} + \frac{\partial u}{\partial x} \frac{\partial x}{\partial t} = \frac{\partial u(x(t),t)}{\partial t} = 0$$

$\Rightarrow u(x(t),t) = \text{Koust.}$  za předpokladu,

$$\text{že } \frac{\partial x}{\partial t} = a, \text{ tj. } x = a \cdot t$$



$$\Rightarrow u(x,t) = \underline{\underline{\varphi(x-at)}} \text{ presue'}$$

řešení lineárn' shadru' transportn'  
novice (\*)

(156)

$\Rightarrow$  oblast závislosti řešení v bodě  $[x, t]$

je jednobodová množina  $D = \{x - at\}$

$x$ -ova souřadnice poč. pod.

2) System n hyperbolických rovnic 1. rádu

(např. linearizované Eulerovy rovnice  
z mech. teorie)

$$\frac{\partial U(x, t)}{\partial t} + A \frac{\partial U(x, t)}{\partial x} = 0, \quad U(x, 0) = \Phi(x)$$

$$U(x, t) = \begin{bmatrix} u_1(x, t) \\ u_2(x, t) \\ \vdots \\ u_n(x, t) \end{bmatrix}, \quad A \text{ je reálná konstanta}$$

matice typu  $n \times n$  s vlastními čísly  $\lambda_i, i=1, \dots, n$

a n lineárně nezávislými vlastními vektory

a poč. podmínuje ji vektor  $\Phi(x) = \begin{bmatrix} \varphi_1(x) \\ \varphi_2(x) \\ \vdots \\ \varphi_n(x) \end{bmatrix}$

(157)

Jíž víme, že lze psát  $A = R \perp L$ , kde

$R$  je matice pravostranných vlastních vektorů,  $L$  levostanných vlastních vektorů a  $\Lambda$  je diagonální matice vlastních čísel matice  $A$ .

$$L \cdot \left| \frac{\partial U}{\partial t} + R \perp L \frac{\partial U}{\partial x} \right. = 0$$

$$\frac{\partial (LU)}{\partial t} + (LR) \perp \left| \frac{\partial (LU)}{\partial x} \right. = 0$$

$$\frac{\partial V}{\partial t} + \perp \left| \frac{\partial V}{\partial x} \right. = 0 \quad | \quad V = L \cdot U$$

poslední rovnici lze zapsat po složkách na  $n$  nezávislých rovnic

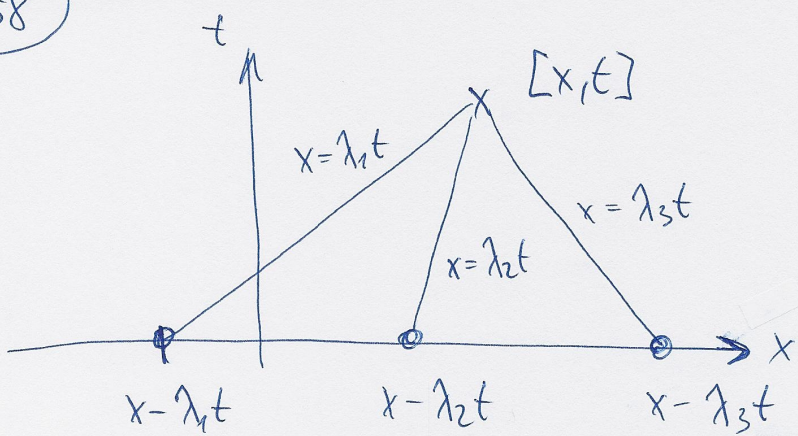
$$\left[ \frac{\partial v_i}{\partial t} + \lambda_i \frac{\partial v_i}{\partial x} = 0, \quad i=1, \dots, n \right]$$

$v_i$  jsou složky vektora  $V$

$\Rightarrow$  oblast závislosti řešení v  $[x, t]$  je

$$\text{množina } D = \left\{ x - \lambda_i t, \quad i=1, \dots, n \right\}$$

(158)

3) Vlnová rovnice

Uvažujeme Cauchyova úloha

$$\frac{\partial^2 u(x,t)}{\partial t^2} = a^2 \frac{\partial^2 u(x,t)}{\partial x^2}, \quad a > 0$$

$$u(x,0) = \varphi(x)$$

$$\frac{\partial u}{\partial x}(x,0) = \psi(x)$$

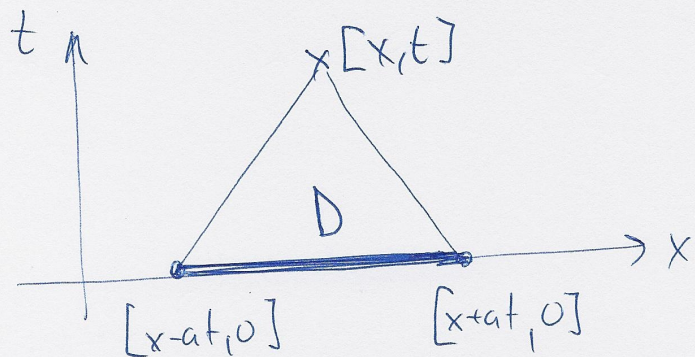
D'Alamberovo řešení (viz Vybrané statě z matematiky II,  
Jirásek, Koteš, Neustupa 1991)

$$u(x,t) = \frac{1}{2} (\varphi(x+at) + \varphi(x-at)) +$$

$$+ \frac{1}{2} \int_{x-at}^{x+at} \psi(y) dy$$

(159)

$\Rightarrow$  oblast závislosti řešení v bodě  $[x,t]$  je  
interval  $D = (x-at, x+at)$



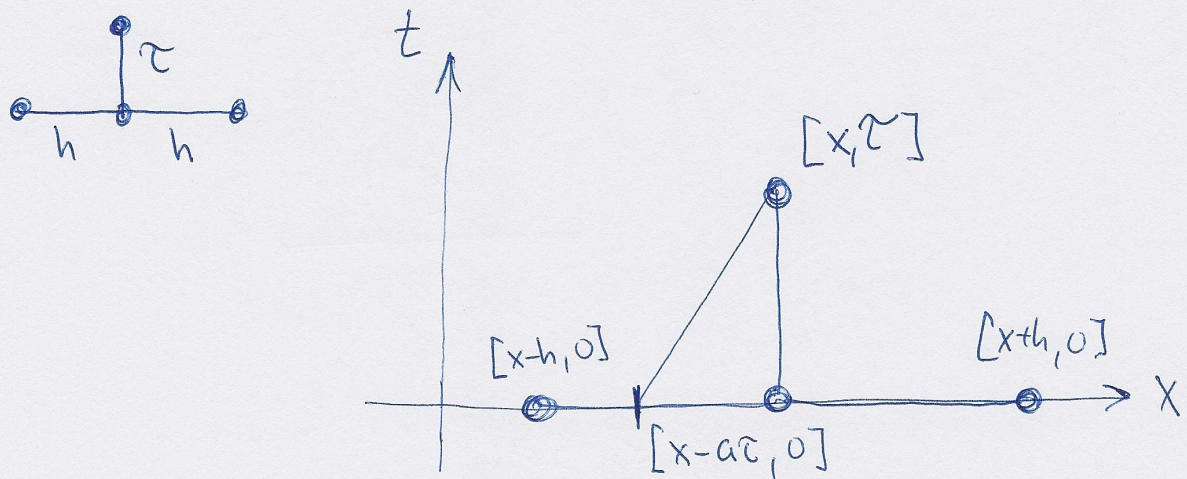
4) Pro rovnici vedení tepla dostívame  
oblast závislosti řešení v bodě  $[x,t]$   
nekompatibilní  $D = (-\infty, \infty)$ , tj. rychlosť  
šíření informace je nekonečná (navzdil  
od konečné velikosti u hyperbolických rovnic)

CFL podmínka: Numerická metoda může

Konvergovat pouze pokud oblast závislosti  
numerické metody obsahuje oblast závislosti  
parciální diferenciální rovnice alespoň  
v limitním případě pro  $\tau$  a  $h$  jdoucí k nule.

160

Příklad: Laxovo - Friedrichsovo schéma pro 1D  
transportní rovnici má stencil



Musí platit

$$x-h \leq x-at \leq x+h$$

$$-h \leq -at \leq h$$

$$|-at| \leq h$$

$$|a|t \leq h$$

$$\underline{\underline{C}} \leq \frac{h}{|a|}$$

Pozn: Stejnou podmínku pro časový krok dostaneme i pro centrální schéma, které je však vždy nestabilní. CFL podmínka je nutná pro podmínku konvergence f. Konvergenci li numerické schéma, pak je CFL podmínka

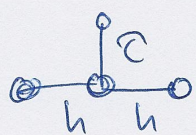
(161)

Splněna (opožděná implikace neplatí).

Př: Explicitní schéma pro vlnovou rovnicu

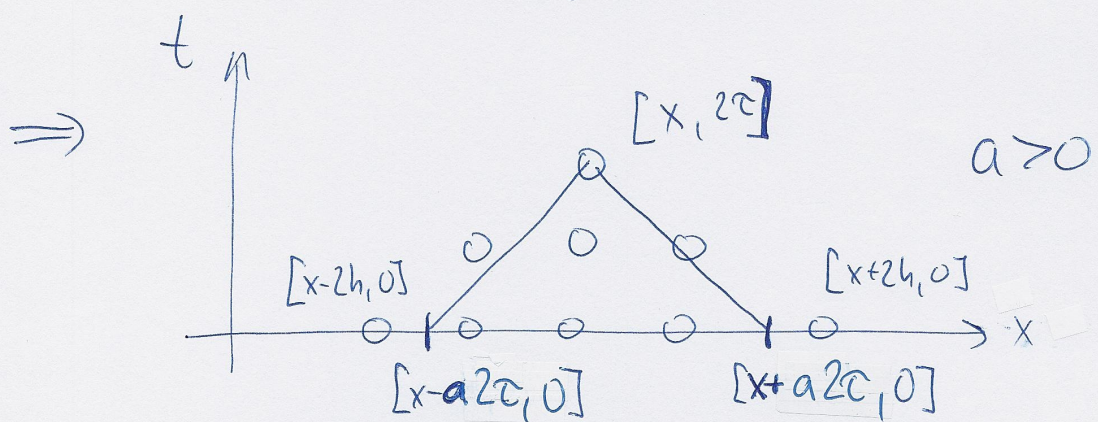
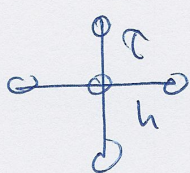
Stencil pro první čas. vrstvu (nahradit

2. řádu) je



a pro další

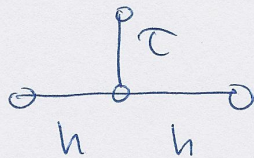
časové vrstvy



$$\Rightarrow a\Delta t \leq \Delta h$$
$$\underline{\underline{c \leq \frac{h}{a}}}$$

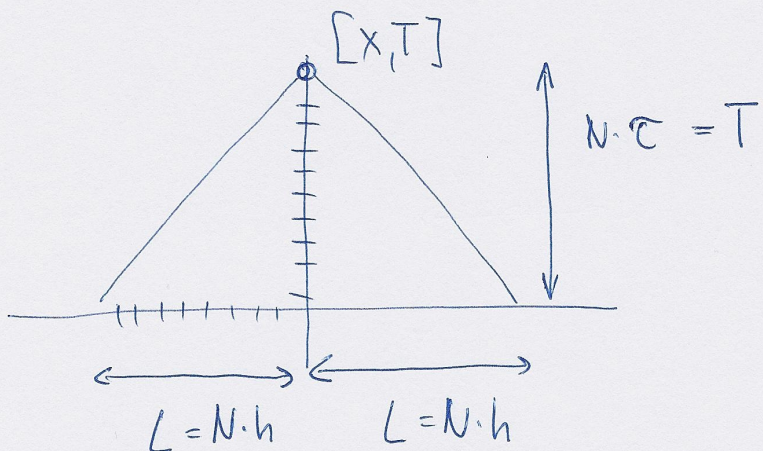
(162)

Prí: Explicitní schéma pro rovnici vedení tepla má stencil



$\Rightarrow$  schéma má pro koncové hranice homogennou oblast závislosti, tedy v rozporu s nehomogenou oblastí závislosti diferenciální rovnice. Budeme-li uvažovat podmínky

$$\frac{\tau}{h^2} \leq \frac{1}{2p} \quad (\text{kde } \frac{\partial u}{\partial t} = p \frac{\partial^2 u}{\partial x^2})$$



uvažujme pro jichnostnost  $\tau = h^2$ , pak  $N = \frac{T}{\tau} = \frac{T}{h^2}$  a  $L = N \cdot h = \frac{T}{h^2} \cdot h = \frac{T}{h}$

$$\Rightarrow \text{při } h \rightarrow 0_+ \text{ je } L = \frac{T}{h} \rightarrow +\infty$$

Závěr: do druhého podmínce  $\tau \approx h^2$ , pak